

日立造船(株)技術研究所 正員 ○川村 大蔵
東京大学生産技術研究所 正員 龍岡 文夫
佐賀県正員 佐元 信

1. はじめに 筆者らは、重力場における平面ひずみ状態の模型支持力実験¹⁾の解析に用いる基礎的データを得るために、飽和豊浦砂の平面ひずみ強度ならびに変形特性を調べてきた。^{2),3)}その際、中間主応力の作用面に発生する局所的ひずみの測定も併せて行った。ここでは、局所的ひずみの分布について得られた情報をもとに、豊浦砂の平面ひずみ条件下における応力～ひずみ関係について考察を加える。

2. 実験方法 供試体(高さ10.5cm×長さ8cm×幅4cm)の作成方法、実験手順等については文献^{2),3)}を参照されたい。平面ひずみ条件($\epsilon_2=0$)を供試体に課すための拘束板の一方にアクリル板を用い、メンブレンに貼付したラテックス製マーカーの変位から供試体のひずみ分布を求めた。三軸セル、セル水および拘束板による像のゆがみは補正してある。

3. 実験結果 拘束圧0.05 kgf/cm²における間げき比 $e_{0.05} = 0.722$, $\delta = 90^\circ$ (δ は空中落下法で作成した供試体の堆積面と δ 方向とのなす角度)の供試体を $\sigma'_c = 1.0 \text{ kgf/cm}^2$ の下でせん断し隙間に得られたひずみ分布図を図2(a)～(d)に示す。図2(a)～(d)の線分の方向および長さは、それそれ、伸び縮みのない方向ならびにその方向のせん断ひずみの増分の位置を表わす。また、記号S, H, IおよびJは図1の応力～ひずみ曲線上の点と対応している。図2より、区間S→Hでは供試体はほぼ一様に変形しており、区間H→Iでは隙間にせん断層(Shear Band)が形成されつつあり、ピーク後の区間I→Jではせん断層にひずみが集中していることが分る。なお、局所的ひずみ最大せん断ひずみ増分の平均値 $\bar{\epsilon}_L$ と供試体の境界変位から求めたものの(底)の比は、区間S→Hで0.90、区間H→Iで1.46であった。区間S→Hでの両者の差はBedding Errorの影響を、区間H→Iにおける両者の差はせん断層の形成に伴う主ひずみ方向の

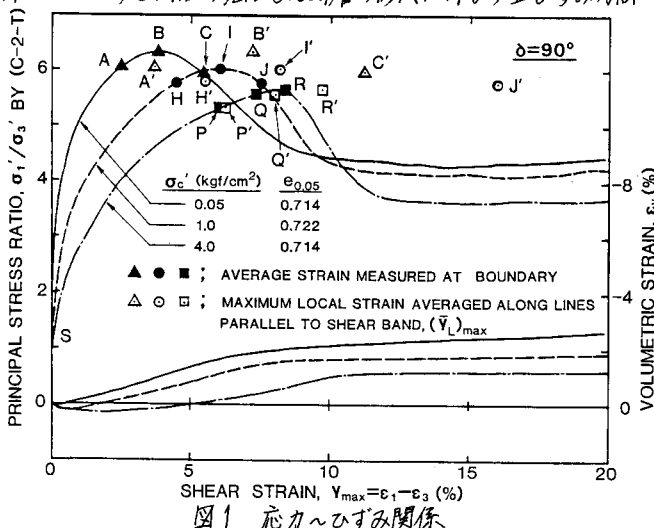


図1 応力～ひずみ関係

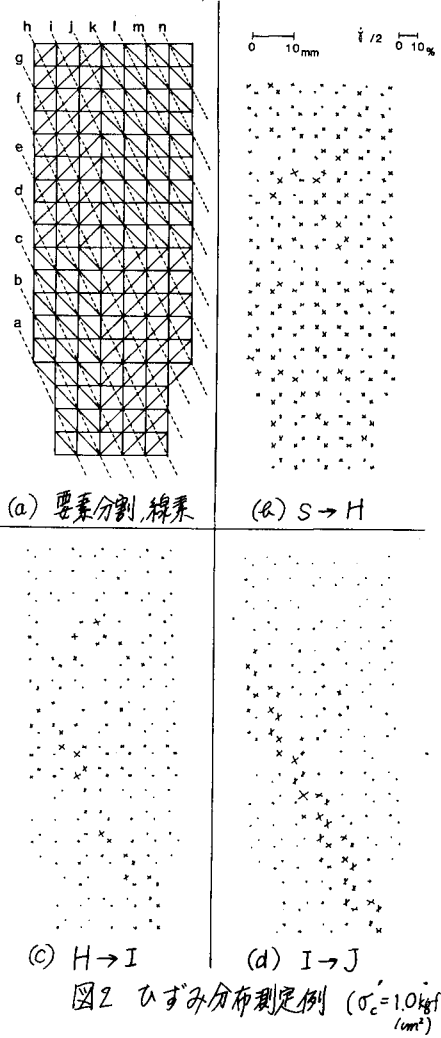


図2 ひずみ分布測定例 ($\sigma'_c = 1.0 \text{ kgf/cm}^2$)

回転の影響を示唆するものと考えられる。図2に示す実験では、図2(a)の線素eに沿って明確なせん断層が認められる。そこで、eに平行な線素aへれを設定し、各線素上に位置する三角形要素の最大せん断ひずみ増分を各区間に求め、その平均値 $\bar{\gamma}_L$ と $\bar{\gamma}$ との比をとってまとめたものが図3である。この図でも、区間H→I, I→Jにおいて線素eにひずみが集中していることがよく分かる。次に、ひずみの非一様性と有効拘束圧との相関を図4に示す。図4の横軸は各区間ににおける局所的な最大せん断ひずみ増分 $\gamma_L/\bar{\gamma}$ である。この値が大きいほど非一様なひずみ分布であること、すなわち、せん断層にひずみが集中していることを示す。この図から、①低拘束圧下に至るほどピークのかなり前でもひずみの非一様性が高いこと、②高拘束圧下に至るほどピーク直前までひずみは一様に分布し、その後のせん断層へのひずみの集中が顕著であることが分る。

図1に示す応力へひずみ曲線のピーク近傍で、点Sを起点とする区間(S→A, S→B等)で得られた局所的なひずみから、線素上の最大せん断ひずみの平均値 $\bar{\gamma}_L$ およびその最大値 $(\bar{\gamma}_L)_{max}$ を求め、 $(\bar{\gamma}_L)_{max}$ と応力比との関係を図1に併記した。図中の点A, B, …は供試体の境界変位から求めた最大せん断ひずみ点に、点A', B'…は同じ応力比における $(\bar{\gamma}_L)_{max}$ に対応している。YBに着目すると、 $\sigma'_c=0.05 \text{ kgf/cm}^2$ の場合のピーク時のせん断ひずみは $\bar{\gamma}_L=4.0 \text{ kgf/cm}^2$ の場合のたかだか1/4でしかない。一方、 $(\bar{\gamma}_L)_{max}$ についてみると、両者の差はそれほどではない。すなわち、低拘束圧下では見かけ上ピークに至る値は小さいが、ひずみ分布の一様性は非常に低く、せん断層の附近では高拘束圧下におけると同程度のひずみが発生しているものと考えられる。このような局所ひずみと発揮されている応力比との関係は、模型支持力実験の解析を行う上で重要な手がかりとなるであろう。

また、内部摩擦角は $\phi=23^\circ \sim 34^\circ$ で極小になることが分っているが、図5, 6によれば、この程度の ϕ でひずみの非一様性が最も高い。

4.まとめ 平面ひずみ供試体に発生するひずみの非一様性(せん断層へのひずみの集中)は拘束圧および土に依存することが分った。

〈謝辞〉本研究は東京大学生産技術研究所で行った。御協力頂いた

図5 線素上の最大せん断ひずみ(ひの影響)
試作工場および村井研究室の方々に謝意を表します。

〈参考文献〉 すべて第20回土質工学研究発表会(名古屋)。(1)谷ら:砂地盤上の帯基礎の模型支持力実験。

(2)坂元ら:極低圧下における平面ひずみ圧縮強度・変形特性。

(3)川村ら:平面ひずみ圧縮での強度変形特性の異方性。

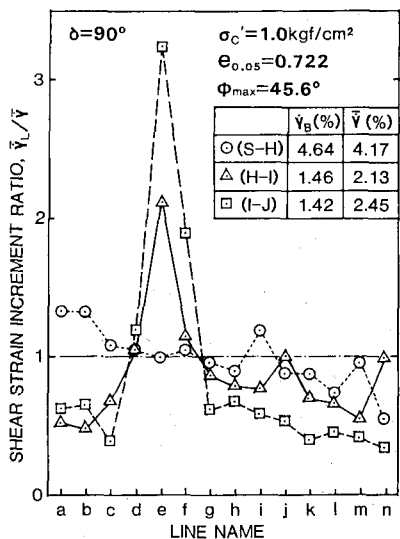


図3 線素aへれの最大せん断ひずみ

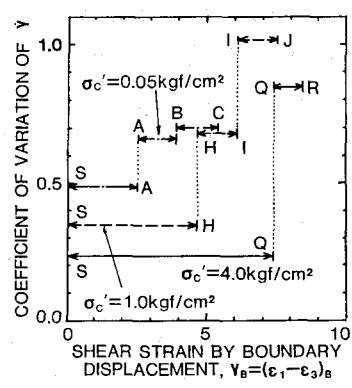


図4 ひずみの非一様性(拘束圧の影響)

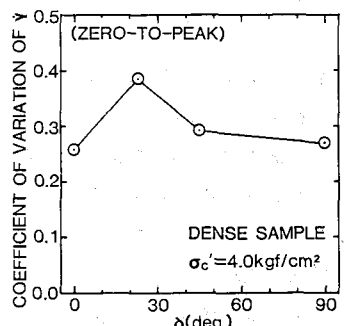
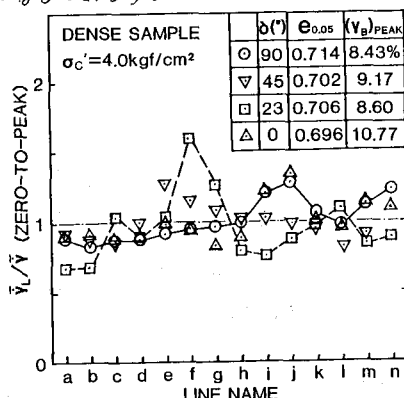


図6 局所的最大せん断ひずみの変動係数とδの関係